

تخمین پارامترهای سینکال سینوسی میرا با استفاده از شناساننده تطبیقی

محمد علی قدیری مدرس^۱، محسن مجیری^۲، بهرام کریمی^۳

^۱ فارغ‌التحصیل کارشناسی ارشد مهندسی برق، گروه کنترل، دانشگاه صنعتی اصفهان،

^۲ استادیار، دانشکده مهندسی برق و کامپیوتر، گروه کنترل، دانشگاه صنعتی اصفهان،

^۳ استادیار دانشکده مهندسی برق و کامپیوتر، دانشگاه صنعتی مالک اشتر،

(تاریخ دریافت مقاله ۱۰/۲۶/۱۳۹۰، تاریخ پذیرش مقاله ۲۳/۱۲/۱۳۹۰)

چکیده: در این مقاله، یک الگوریتم تطبیقی، جهت تخمین بهنگام فرکانس و ضریب میرایی سینکال‌های سینوسی میرا ارائه شده است. الگوریتم ارائه شده مبتنی بر مفهوم شناساننده تطبیقی به عنوان روشی برای تخمین پارامترهای یک سیستم خطی می‌باشد. الگوریتم پیشنهادی از یک فیلتر خطی مرتبه دو به همراه دو قانون تنظیم تشکیل شده است که به طور غیر مستقیم تخمین فرکانس و ضریب میرایی سینکال سینوسی میرا را بدست می‌دهند. پایداری محاسبی محلی الگوریتم پیشنهادی با استفاده از قضیه معدل گیری از نظریه سیستم‌های دینامیکی اثبات شده است. نتایج شبیه سازی مؤید تحلیل‌های تئوری و عملکرد مطلوب الگوریتم ارائه شده می‌باشد.

کلمات کلیدی: سینکال سینوسی میرا، فرکانس، ضریب میرایی، شناساننده تطبیقی، قضیه معدل گیری.

Parameter Estimation of an Exponentially Damped Sinusoidal Signal Using Adaptive Identifier

Mohammad Ali Ghadiri-Modarres, Mohsen Mojiri, Bahram Karimi

Abstract: This paper presents an adaptive identifier based algorithm for online estimation of damping factor and frequency of an exponentially damped sinusoidal signal. The algorithm is based on an adaptive identifier which is a theoretical tool for the estimation of the parameters of an unknown linear system. The governing equations of the proposed algorithm are composed of a second order linear filter and two update laws that provide indirect estimation of the frequency and damping factor. Local stability analysis of the proposed method is presented using averaging theory. Simulation results confirm the analytical derivations and also the desirable performance of the proposed algorithm.

Keywords: Exponentially damped sinusoidal signal, Frequency, Damping factor, Adaptive identifier, Averaging theory.

آن‌ها به وسیله سینکال سینوسی با دامنه ثابت، کارآمد نیست [۱]. همچنین همان‌طور که از تئوری سیستم‌های خطی می‌دانیم پاسخ ضربه یک سیستم فیزیکی را که توسط معادلات دیفرانسیل معمولی (با ضرایب ثابت) توصیف می‌شود می‌توان به صورت مجموعی از نمایی‌های مختلط توصیف نمود. بنابراین شناسایی پارامترهای سینکال‌های سینوسی میرا می‌تواند در شناسایی سیستم‌ها نیز حائز اهمیت باشد [۲]. از کاربردهای

۱- مقدمه

تخمین پارامترهای سینکال سینوسی میرا، از مسائل قدیمی است که به شکل‌های گوناگون در زمینه‌های متفاوتی از علوم کاربردی ظاهر می‌شود. به عنوان نمونه یکی از کاربردهای سینکال‌های سینوسی میرا در پردازش سینکال، مدل‌سازی سینکال‌های صوتی و گفتار است. این دسته از سینکال‌ها دارای تغییرات سریع در دامنه می‌باشند و بنابراین مدل‌سازی

فرکانس و ضرب میرایی سیگنال ورودی را به دست می‌دهد. برای اثبات پایداری و همگرایی الگوریتم تطبیقی ارائه شده از قضیه معدل گیری استفاده شده است. جنبه‌های مختلف الگوریتم پیشنهادی با استفاده از شبیه‌سازی برسی می‌شود. شبیه‌سازی‌های انجام داده شده نشان می‌دهند الگوریتم پیشنهادی توانایی تعییب تغییرات آرام پارامترها را نیز دارد.

بر مبنای مطالعه گفته شده، ادامه این مقاله در چهار بخش تضمیم شده است. در بخش دوم، معادلات ریاضی یک الگوریتم تطبیقی برای تخمین فرکانس و ضرب میرایی سیگنال سینوسی میرا و بازسازی آن (مبتنی بر شناسانده تطبیقی) معرفی شده است. در بخش سوم با استفاده از قضیه معدل گیری پایداری الگوریتم پیشنهادی مورد بررسی قرار می‌گیرد. در بخش چهارم با ارائه شبیه‌سازی‌های متعدد عملکرد الگوریتم پیشنهادی مورد بررسی قرار گرفته است. سرانجام بخش پنجم به نتیجه گیری مقاله اختصاص یافته است.

۲- ساختار الگوریتم پیشنهادی

سیگنال سینوسی میرا با معادله

$$y(t) = k_0 e^{-\sigma_0 t} \sin(\omega_0 t + \delta_0) \quad (1)$$

غالبا برای مدل سازی سیگنال سینوسی که دامنه آن با زمان تغییر می‌کند، به کار می‌رود. در این مدل k_0 , σ_0 , ω_0 و δ_0 ثابت‌های مثبت حقیقی و نامعلوم می‌باشند. هدف یافتن یک الگوریتم تطبیقی برای تخمین بهنگام فرکانس و ضرب میرایی سیگنال می‌باشد. وابستگی غیر خطی (t) y به پارامترهای نامعلوم آن و همچنین غیرایستانی بودن سیگنال، باعث ناکارآمدی استفاده از روش‌های متداول تخمین پارامترهای سیگنال‌های ایستان گردیده است.

ساختار الگوریتم پیشنهادی بر مبنای شناسانده مبتنی بر معادله خط است. همان‌گونه که از تئوری سیستم‌های خطی می‌دانیم برای تولید سیگنال سینوسی میرا (۱) از معادله دیفرانسیل زیر با شرایط اولیه داده شده می‌توان استفاده نمود.

$$\begin{aligned} \ddot{y}(t) + 2\sigma_0 \dot{y}(t) + (\sigma_0^2 + \omega_0^2)y(t) &= 0 \\ y(0) &= k_0 \sin \delta_0 \\ \dot{y}(0) &= k_0 \omega_0 \cos \delta_0 - \sigma_0 \sin \delta_0 \end{aligned} \quad (2)$$

اگر از رابطه (۲) با صرف نظر نمودن از شرایط اولیه تبدیل لاپلاس گرفته شود، داریم

$$s^2 y(s) + \theta_2 s y(s) + \theta_1 y(s) = 0 \quad (3)$$

که در آن $2\sigma_0 = 2\theta_2 = \theta_1 = \sigma_0^2 + \omega_0^2$ می‌باشد. با تعریف چندجمله‌ای هرویتر و مونیک دلخواه نمایش داد

دیگر می‌توان به سیستم‌های قدرت اشاره نمود. در این سیستم‌ها تعداد زیادی ژنراتور که در فرکانس‌های ۵۰ یا ۶۰ هرتز کار می‌کنند به یکدیگر متصل هستند. پس از رخدادن یک خطأ و یا پیدایش اغتشاش در این سیستم‌ها چندین سیگنال سینوسی میرا ظاهر می‌شوند. بسیار حائز اهمیت است که این سیگنال‌ها مانیتور شوند تا در صورت نیاز بتوان به وسیله ساختارهای کنترلی موجود میرایی آن‌ها را افزود و از ایجاد ناپایداری در شبکه جلوگیری نمود [۳] و [۴].

تاکنون روش‌های تکراری^۱ و غیر تکراری متعددی برای تخمین فرکانس و ضرب میرایی سیگنال‌های سینوسی میرا ارائه شده‌اند. از جمله‌ی این روش‌ها می‌توان به روش‌های تحت عنوان پنسیل ماتریسی^۲ [۵] و [۶]، روش پیشگوی خطی^۳ و اصلاحات انجام گرفته بر روی آن [۷] و [۸]، و روش‌های مبتنی بر حداقل مربعات^۴ اشاره نمود [۹] و [۱۰]. در روش‌های معرفی شده سیگنال‌ها به صورت نمایی مخلوط در نظر گرفته شده و به دلیل حجم محاسباتی بالا، برای کاربردهای زمانی حقیقی^۵ مناسب نمی‌باشند.

اخیراً بر مبنای استفاده از اصل مدل داخلی، یک روش تطبیقی برای شناسایی و کنترل سیگنال‌های سینوسی میرا ارائه شده است [۱۱] و [۱۲]. در این روش ابتدا یک کنترل کننده با توجه به اصل مدل داخلی ارائه و در فضای حالت پیاده سازی می‌شود. سپس به کمک یک نگاشت ارتباط میان حالت‌های کنترل کننده و خطای تخمین پارامترهای سیگنال تعیین می‌گردد. از این ارتباط به منظور تعیین قوانین تطبیق استفاده می‌شود. نتایج بدست آمده در این مراجع ذاتا محلی بوده و مستلزم تنظیم دقیق پارامترها می‌باشد که بر آورده شدن آن برای سیستم‌های عملی آسان نیست. همچنین الگوریتم ارائه شده توانایی تخمین رنج وسیعی از ضرب میرایی را ندارد.

در این مقاله یک الگوریتم تطبیقی، مبتنی بر شناسانده تطبیقی، جهت تخمین بهنگام پارامترهای سیگنال‌های سینوسی میرا معرفی و خصوصیات و تحلیل پایداری آن مورد بررسی قرار می‌گیرد. این الگوریتم از تعمیم روش ارائه شده در [۱۳] و [۱۴]^۶ برای تخمین بهنگام فرکانس یک سیگنال سینوسی بدست می‌آید. از آنجا که برخلاف سیگنال‌های سینوسی، سیگنال‌های سینوسی میرا با گذشت زمان به سمت صفر میل می‌کنند، استفاده از قوانین تنظیم ارائه شده در [۱۳] و [۱۴]^۷ تضمین کننده همگرایی پارامترها نمی‌باشد. بنابراین در این مقاله قوانین تنظیم ارائه شده در [۱۳] و [۱۴]^۸ بگونه‌ای اصلاح می‌شود که خطای تخمین پارامترهای سیگنال سینوسی میرا به صورت نمایی به سمت صفر میل کند. معادلات حاکم بر الگوریتم پیشنهادی از یک فیلتر خطی مرتبه دو و دو قانون تنظیم تشکیل شده است که به طور غیر مستقیم تخمین

¹ Iterative

² Matrix pencil

³ Linear prediction

⁴ Least square

⁵ Real time

$$\begin{aligned} \dot{x}_1(t) &= x_2(t) \\ \dot{x}_2(t) &= -\lambda_1 x_1(t) - \lambda_2 x_2(t) + y(t) \\ \hat{y}(t) &= (\lambda_1 - \hat{\theta}_1)x_1 + (\lambda_2 - \hat{\theta}_2)x_2 \\ e(t) &= y(t) - \hat{y}(t) \\ \dot{\hat{\theta}}_1 &= -\frac{\gamma_1}{x_1^2 + (x_2 + \frac{1}{2}\hat{\theta}_2 x_1)^2} x_1 e \\ \dot{\hat{\theta}}_2 &= -\frac{\gamma_2}{x_1^2 + (x_2 + \frac{1}{2}\hat{\theta}_2 x_1)^2} x_2 e \end{aligned} \quad (4)$$

در روابط (۴)، (۵) و (۶) سیگنال ورودی به فرم (۱) می‌باشد.
توجه ۱. همانگونه که گفته شد الگوریتم پیشنهادی به صورت غیر مستقیم تخمین فرکانس و ضریب میرایی سیگنال سینوسی میرا را بدست می‌دهد. بنابراین با در دست داشتن مقادیر تخمینی $\hat{\theta}_1$ و $\hat{\theta}_2$ ، مقادیر تخمینی ضریب میرایی و فرکانس با استفاده از روابط (۱۰) بدست می‌آیند.

$$\begin{aligned} \hat{\sigma}_0 &= \frac{1}{2} \hat{\theta}_2 \\ \hat{\omega}_0 &= \sqrt{\left(\hat{\theta}_1 - \frac{1}{4} \hat{\theta}_2^2\right)} \end{aligned} \quad (10)$$

۳- تحلیل پایداری

در این بخش، به بررسی پایداری الگوریتم پیشنهادی می‌پردازیم. بدین منظور ابتدا یک پاسخ شبه مانندگار از دینامیک ارائه شده بدست آورده و سپس پایداری مجانی قوانین تنظیم را بر روی این پاسخ مورد بررسی قرار می‌دهیم.

قضیه ۱- سیستم دینامیکی (۵) به همراه خروجی شناساننده (۷) و خطای شناساننده با معادله $\hat{y}(t) = y(t) - \hat{y}(t) = e(t)$ را در نظر بگیرید، که در آن (۵) سیگنال سینوسی میرا به فرم (۱) می‌باشد. فرض کنید قوانین تنظیم پارامترها به صورت (۸) باشند. با انتخاب مناسب پارامترهای طراحی γ_1 ، γ_2 ، λ_1 و λ_2 نقطه تعادل دستگاه دینامیکی (۸) پایدار مجانی محلی است یعنی هنگامیکه $t \rightarrow \infty$ ، $\hat{\theta}_1$ و $\hat{\theta}_2$ به ترتیب به مقادیر نامی $\sigma_0^2 + \omega_0^2$ و $2\sigma_0$ میل می‌کنند.

اثبات. فرض کنید λ_1 و λ_2 به گونه‌ای انتخاب شوند که ریشه‌های $s^2 + \lambda_2 s + \lambda_1 = 0$ به اندازه کافی دور از $-\sigma_0 \pm j\omega_0$ در سمت چپ صفحه s باشند. بنابراین پاسخ گذراي سیستم (۵) که ناشی از سیگنال ورودی و شرایط اولیه می‌باشد به سرعت میرا شده و در حالت شبه مانندگار داریم

$$\begin{aligned} x_1^o(t) &= A e^{-\sigma_0 t} \sin \alpha \\ x_2^o(t) &= \dot{x}_1^o(t) = A e^{-\sigma_0 t} (-\sigma_0 \sin \alpha + \omega_0 \cos \alpha) \end{aligned} \quad (11)$$

$$y(s) = \frac{(\lambda_2 - \theta_2)s + (\lambda_1 - \theta_1)}{\hat{\lambda}(s)} y(s) \quad (4)$$

نمایش فضای حالت معادله (۴) به صورت زیر می‌باشد

$$\begin{aligned} \dot{x}_1(t) &= x_2(t) \\ \dot{x}_2(t) &= -\lambda_1 x_1(t) - \lambda_2 x_2(t) + y(t) \end{aligned} \quad (5)$$

$$y(t) = (\lambda_1 - \theta_1)x_1(t) + (\lambda_2 - \theta_2)x_2(t) \quad (6)$$

دستگاه معادلات (۵) و (۶) ساختار شناساننده را مشخص می‌کند. این معادلات تنها در صورتی سیگنال سینوسی میرا در خروجی (۶) $y(t)$ تولید می‌کنند که شرایط اولیه آن به درستی انتخاب شود. در حالت کلی، سمت راست معادله (۶) با $y(t)$ در عبارتی که به صورت نمایی میرا می‌شوند تفاوت دارد که ناشی از صرف نظر کردن از شرایط اولیه می‌باشد. همانطور که مشاهده می‌شود در ساختار جدید، سیگنال (۶) به صورت خطی به پارامترهای مجھول θ_1 و θ_2 وابسته است. مشابه با معادله خروجی (۶) می‌توان برای سیگنال (۵) y یک مشاهده گر به فرم زیر ارائه نمود.

$$\hat{y}(t) = (\lambda_1 - \hat{\theta}_1)x_1 + (\lambda_2 - \hat{\theta}_2)x_2 \quad (7)$$

که در آن $i = 1, 2$ ، $\hat{\theta}_i$ تخمین‌های θ_i می‌باشند. هرچند جهت ارائه قانون تنظیم برای پارامترهای $\hat{\theta}_1$ و $\hat{\theta}_2$ ، می‌توان از الگوریتم استاندارد گرادیان برای کمینه سازیتابع مربع خطأ با تعریف $e^2(t) = (y(t) - \hat{y}(t))^2$

$$= (y(t) - (\lambda_1 - \hat{\theta}_1)x_1 - (\lambda_2 - \hat{\theta}_2)x_2)^2$$

استفاده نمود، اما با توجه اینکه سیگنال سینوسی میرا با گذشت زمان به سمت صفر میل می‌کند تضمینی جهت همگرایی مقادیر تخمینی پارامترها توسط این الگوریتم به مقادیر نامی پارامترها وجود ندارد [۱۵] و [۱۶]. جهت تضمین پایداری، قوانین تنظیم حاصل شده از الگوریتم گرادیان را به صورت مناسب نرم‌الزیه می‌کنیم. بدین ترتیب داریم

$$\begin{aligned} \dot{\hat{\theta}}_1 &= -\frac{\gamma_1}{x_1^2 + (x_2 + \frac{1}{2}\hat{\theta}_2 x_1)^2} x_1 e \\ \dot{\hat{\theta}}_2 &= -\frac{\gamma_2}{x_1^2 + (x_2 + \frac{1}{2}\hat{\theta}_2 x_1)^2} x_2 e \end{aligned} \quad (8)$$

که در آن γ_1 و γ_2 ثابت‌های مثبت و پارامترهای طراحی می‌باشند. لازم بذکر است که قوانین تنظیم ارائه شده توسط (۸) به جز در عامل نرم‌الزیه، مشابه قوانین تنظیم بدست آمده توسط فرم استاندارد الگوریتم گرادیان می‌باشند. بدین ترتیب یک رویتگر جدید با پایداری نمایی تضمین شده ارائه می‌گردد. به طور خلاصه دینامیک الگوریتم پیشنهادی عبارت است از

سیستم دینامیکی (۱۳) در قالب قضیه معدل گیری قرار دارد (معادله‌ی (ض-۱) در بخش ضمیمه)، که تابع برداری $\dot{\phi} = \mathcal{E}f(\phi, t, \varepsilon)$ مطیق رابطه (۱۵)، متعلق به کراندار بر روی مجموعه‌های کراندار و متناظر با دوره تناوب $T = \pi$ است. حال طبق قضیه معدل گیری پایداری سیستم $\dot{\phi} = \mathcal{E}f(\phi, t, \varepsilon)$ مرتبه با پایداری سیستم معدل گیری شده (معادله‌ی (ض-۲) در بخش ضمیمه) است. با استفاده از رابطه‌ی زیر از جدول انتگرال‌ها

$$\int \frac{\sin^2 \tau}{a^2 \cos^2 \tau + \sin^2 \tau} d\tau = \frac{1}{1-a^2} (\tau - a \tan^{-1} \tau) \quad (16)$$

سیستم معدل گیری شده سیستم (۱۳)، با معادلات زیر مشخص می‌شود

$$\begin{aligned} \dot{\phi}_{1,av} &= -\gamma_1 \left(\frac{1}{\omega_0 + 1} \phi_{1,av} - \frac{\sigma_0}{\omega_0 + 1} \phi_{2,av} \right) \\ \dot{\phi}_{2,av} &= -\gamma_2 \left(-\frac{\sigma_0}{\omega_0 + 1} \phi_{1,av} + \frac{\sigma_0^2 + \omega_0}{\omega_0 + 1} \phi_{2,av} \right) \end{aligned} \quad (17)$$

در رابطه (۱۷) زیر نویس 'av' بیانگر مقادیر معدل می‌باشد. چندجمله‌ای مشخصه سیستم (۱۷) عبارت است از

$$s^2 + \frac{\gamma_1 + \gamma_2(\sigma_0^2 + \omega_0)}{\omega_0 + 1} s + \frac{\gamma_1 \gamma_2 \omega_0}{(\omega_0 + 1)^2} = 0 \quad (18)$$

همان‌گونه که دیده می‌شود چندجمله‌ای مشخصه یک چندجمله‌ای هرویتر بوده، بنابراین مبدأ نقطه تعادل پایدار مجانی برای سیستم (۱۷) می‌باشد. همچنین با توجه به قضیه معدل گیری نتیجه می‌شود که مبدأ و نقاط تعادل پایدار مجانی برای دینامیک‌های $(\sigma_0^2 + \omega_0^2, 2\sigma_0)^T$ (۱۳) و $(\omega_0^2, 2\sigma_0)^T$ (۱۲) می‌باشند و اثبات قضیه کامل می‌شود. توجه داشته باشیم که مبدأ نقطه تعادل سیستم اولیه (۱۱) و سیستم معدل گیری شده (۱۷) است و بنابراین جمله $O(\varepsilon)$ در قضیه معدل گیری حذف می‌شود.

توجه ۲. همانطور که از معادله (۸) دیده می‌شود، ممکن است در لحظاتی عامل نرمالیزه کننده صفر بوده و قوانین بروز رسانی تعریف نشده باشند. برای پیشگیری از این مشکل، می‌توان یک ثابت کوچک به عامل نرمالیزه کننده در مخرج قوانین بروز رسانی افزود [۱۲].

۴- نتایج شبیه‌سازی

در این بخش عملکرد الگوریتم پیشنهادی با معادلات دینامیکی (۹) توسط شبیه‌سازی‌های کامپیوتراً مورد بررسی قرار می‌گیرد. بدین منظور ابتدا با فرض ثابت بودن پارامترهای سیگنال عملکرد الگوریتم در حالت گذرا را مورد بررسی قرار می‌دهیم. نتایج شبیه‌سازی در این حالت به ازای دو مقدار ضربی میرایی، ضربی میرایی کوچک و بزرگ، ارائه می‌شوند. سپس عملکرد الگوریتم در تعقیب تغییرات نوسانی ضربی میرایی را مورد بررسی قرار می‌دهیم. در نهایت به مقایسه الگوریتم پیشنهادی در

که در آن $x_1^\circ(t)$ و $x_2^\circ(t)$ پاسخ‌های شبه ماندگار ناشی از سیگنال ورودی می‌باشند و

$$\begin{aligned} A &= k_0 |H(-\sigma_0 + j\omega_0)| \\ \alpha &= \omega_0 t + \delta_0 + \angle H(-\sigma_0 + j\omega_0) \end{aligned}$$

$$H(s) = \frac{1}{s^2 + \lambda_2 s + \lambda_1}$$

اکنون به بررسی پایداری قوانین تنظیم (۸) روی مسیر جواب شبه ماندگار (۱۱) می‌پردازیم. با توجه به این که معادلات (۱۱) در رابطه این جواب شبه ماندگار به فرم زیر می‌توان نوشت

$$\begin{aligned} \dot{\theta}_1 &= -\frac{\gamma_1}{x_1^\circ + (x_2^\circ + \frac{1}{2}\hat{\theta}_2 x_1^\circ)^2} x_1^\circ (\ddot{x}_1^\circ + \hat{\theta}_2 \dot{x}_1^\circ + \hat{\theta}_1 x_1^\circ) \\ \dot{\theta}_2 &= -\frac{\gamma_2}{x_1^\circ + (x_2^\circ + \frac{1}{2}\hat{\theta}_2 x_1^\circ)^2} x_2^\circ (\ddot{x}_1^\circ + \hat{\theta}_2 \dot{x}_1^\circ + \hat{\theta}_1 x_1^\circ) \end{aligned} \quad (12)$$

دستگاه معادلات (۱۲) تعادل نقطه دارای

$(\hat{\theta}_1^*, \hat{\theta}_2^*) = (\sigma_0^2 + \omega_0^2, 2\sigma_0)$ است. از نظریه سیستم‌های غیرخطی می‌دانیم که نقطه تعادل یک سیستم غیر خودگردان، پایدار نمایی است اگر و تنها اگر نقطه تعادل پایدار نمایی سیستم خطی شده متناظر باشد

[۱۸]. با خطی سازی دستگاه معادلات (۱۲) حول این نقطه تعادل داریم

$$\begin{aligned} \dot{\phi}_1 &= -\frac{\gamma_1}{\sin^2 \alpha + \omega_0^2 \cos^2 \alpha} \times ((\sin^2 \alpha)\phi_1 + (\frac{\omega_0}{2} \sin 2\alpha - \sigma_0 \sin^2 \alpha)\phi_2) \\ \dot{\phi}_2 &= -\frac{\gamma_2}{\sin^2 \alpha + \omega_0^2 \cos^2 \alpha} \times ((\frac{\omega_0}{2} \sin 2\alpha - \sigma_0 \sin^2 \alpha)\phi_1 + (\omega_0 \cos \alpha - \sigma_0 \sin \alpha)^2 \phi_2) \end{aligned} \quad (13)$$

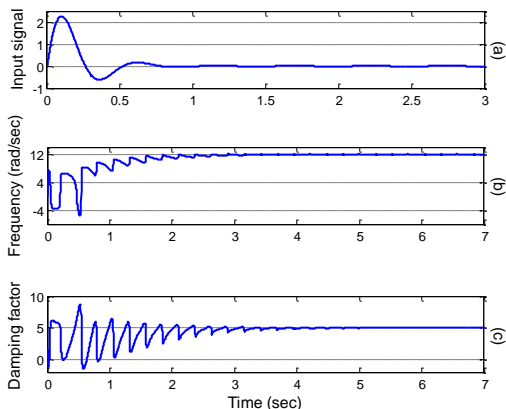
که $\hat{\phi}_1 = \hat{\theta}_1 - \hat{\theta}_1^*$ و $\hat{\phi}_2 = \hat{\theta}_2 - \hat{\theta}_2^*$ خطای پارامترها است. فرض کنید $\mathcal{E} \ll 1$ یک عدد حقیقی ثابت باشد، با تعریف $\hat{\gamma}_1 = \varepsilon \hat{\gamma}_1$ و $\hat{\gamma}_2 = \varepsilon \hat{\gamma}_2$ ، سیستم دینامیکی (۱۳) را می‌توان به صورت زیر نوشت

$$\begin{aligned} \dot{\phi}_1 &= \varepsilon (-\hat{\gamma}_1 \frac{\sin^2 \alpha}{\sin^2 \alpha + \omega_0^2 \cos^2 \alpha} \phi_1 - \hat{\gamma}_1 \frac{\frac{\omega_0}{2} \sin 2\alpha - \sigma_0 \sin^2 \alpha}{\sin^2 \alpha + \omega_0^2 \cos^2 \alpha} \phi_2) \\ \dot{\phi}_2 &= \varepsilon (-\hat{\gamma}_2 \frac{\frac{\omega_0}{2} \sin 2\alpha - \sigma_0 \sin^2 \alpha}{\sin^2 \alpha + \omega_0^2 \cos^2 \alpha} \phi_1 - \hat{\gamma}_2 \frac{(\omega_0 \cos \alpha - \sigma_0 \sin \alpha)^2}{\sin^2 \alpha + \omega_0^2 \cos^2 \alpha} \phi_2) \end{aligned} \quad (14)$$

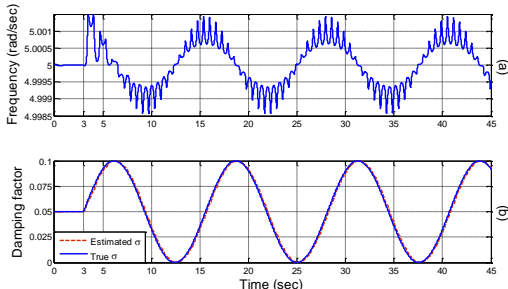
به وضوح دیده می‌شود که با تعریف

$$\begin{aligned} \phi &= \begin{pmatrix} \phi_1 \\ \phi_2 \end{pmatrix} \\ f(\phi, t, \varepsilon) &= \begin{pmatrix} -\hat{\gamma}_1 \frac{\sin^2 \alpha}{\sin^2 \alpha + \omega_0^2 \cos^2 \alpha} \phi_1 - \hat{\gamma}_1 \frac{\frac{\omega_0}{2} \sin 2\alpha - \sigma_0 \sin^2 \alpha}{\sin^2 \alpha + \omega_0^2 \cos^2 \alpha} \phi_2 \\ -\hat{\gamma}_2 \frac{\frac{\omega_0}{2} \sin 2\alpha - \sigma_0 \sin^2 \alpha}{\sin^2 \alpha + \omega_0^2 \cos^2 \alpha} \phi_1 - \hat{\gamma}_2 \frac{(\omega_0 \cos \alpha - \sigma_0 \sin \alpha)^2}{\sin^2 \alpha + \omega_0^2 \cos^2 \alpha} \phi_2 \end{pmatrix} \end{aligned} \quad (15)$$

عملکرد الگوریتم پیشنهادی مورد بررسی قرار می‌دهیم. بدین منظور مقادیر اولیه فرکانس و ضریب میرایی را برابر $\omega_0 = 5 \text{ rad/sec}$ و $t = 3 \text{ sec}$ ، $\sigma_0 = 0.05$ در نظر گرفتایم. فرض کردہ‌ایم در لحظه $t = 3 \text{ sec}$ مقدار ضریب میرایی با رابطه $\sigma_0 = 0.05(1 - \cos 0.5t)$ شروع به نوسان می‌کند. بهره‌های تطبیقی در این حالت $\gamma_1 = 100$ و $\gamma_2 = 50$ انتخاب شده‌اند. تعییب ضریب میرایی و تاثیر آن بر روی تخمین فرکانس در شکل ۳ نشان داده شده است. ملاحظه می‌شود در حالت ماندگار مقدار تخمینی فرکانس به صورت نوسانی با دامنه‌ای کمتر از ۰.۰۰۱۵ rad/sec و با فرکانسی برابر فرکانس ضریب میرایی می‌باشد.



شکل ۲. تخمین پارامترها در حالت بزرگ بودن ضریب میرایی، (a) سیگنال ورودی $y(t) = 4e^{-5t} \sin(12t)$ (b) فرکانس تخمینی (c) ضریب میرایی تخمینی



شکل ۳. بررسی عملکرد الگوریتم هنگام تغییرات نوسانی ضریب میرایی، (a) فرکانس تخمینی (b) ضریب میرایی تخمینی

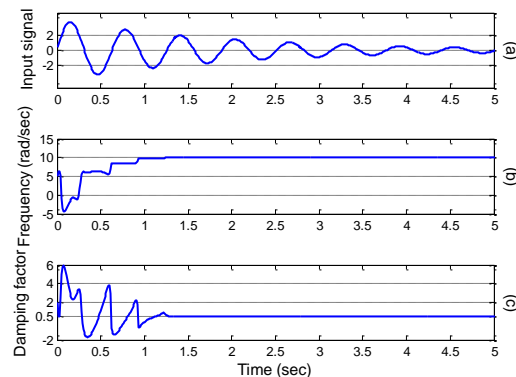
۴-۳- مقایسه با الگوریتم مبتنی بر اصل مدل داخلی

در این بخش روش پیشنهادی در این مقاله و روش مبتنی بر اصل مدل داخلی [۱۱] مقایسه می‌شوند. به این منظور سیگنال سینوسی میرا با معادله $y(t) = 4e^{-0.05t} \sin(2.5t)$ استفاده شده است. پارامترهای الگوریتم پیشنهادی خود را به صورت $(\theta_1(0), \theta_2(0)) = (4, 2)$ و $\sigma_0 = 0.05$ (۱۰.۱.۲۵) انتخاب کرده ایم. شکل‌های (a) و (b) به ترتیب نتیجه تخمین فرکانس و ضریب میرایی را در هریک از دو روش نشان می‌دهند. برای مقایسه سرعت همگرایی دو روش، بازه زمانی ۵ تا ۲۵ ثانیه از شکل‌های (a) و (b) را به ترتیب در شکل‌های (a) و (b) نشان داده‌ایم. همانطور که مشاهده می‌شود سرعت

این مقاله با الگوریتم مبتنی بر اصل مدل داخلی می‌پردازم. کلیه شیوه‌سازی‌ها در محیط Matlab / Simulink انجام گرفته‌اند.

۴-۱- عملکرد اولیه

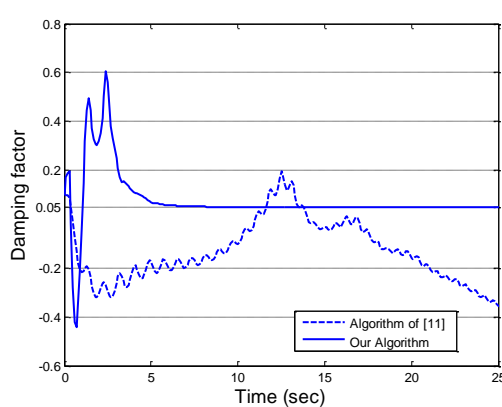
در این بخش عملکرد اولیه الگوریتم را توسط دو شبیه‌سازی، برای ضریب میرایی کوچک و بزرگ مورد بررسی قرار می‌دهیم. مقادیر $\lambda_1 = 30$ ، $\lambda_2 = 200$ و $\gamma_1 = 80$ و $\gamma_2 = 20$ برای شبیه‌سازی اول اختیار شده‌اند. در شبیه‌سازی دوم سیگنال $y(t) = 4e^{-0.5t} \sin(10t)$ که یک سیگنال سینوسی میرا با ضریب میرایی نیز به ترتیب در شکل‌های (a) و (b) و (c) نمایش داده شده‌اند. مشاهده می‌شود الگوریتم پیشنهادی در مدت زمان کمتر از ۲ ثانیه به مقادیر نامی همگرا شده است. در شبیه‌سازی دوم سیگنال $y(t) = 4e^{-5t} \sin(12t)$ که یک سیگنال سینوسی میرا با ضریب میرایی بزرگ است را در نظر گرفتایم. سیگنال ورودی در شکل (a) نشان داده شده است. مقادیر تخمینی فرکانس و ضریب میرایی نیز به ترتیب در شکل‌های (b) و (c) نمایش داده شده‌اند. مشاهده می‌شود هرچند سیگنال به سرعت میرا می‌شود اما الگوریتم قادر به شناسایی پارامترهای سیگنال می‌باشد. لازم ذکر است که ریشه‌های معادله $s^2 + \lambda_2 s + \lambda_1 = 0$ عبارتند از $s_1 = -10$ و $s_2 = -20$ ، که در هر دو حالت به اندازه کافی از $\sigma_0 \pm j\omega_0$ دور می‌باشند.



شکل ۱. تخمین پارامترها در حالت کوچک بودن ضریب میرایی، (a) سیگنال ورودی $y(t) = 4e^{-0.5t} \sin(10t)$ (b) فرکانس تخمینی (c) ضریب میرایی تخمینی

۴-۲- بررسی عملکرد الگوریتم نسبت به تغییرات نوسانی پارامترها

هرچند در بدست آوردن الگوریتم پیشنهادی فرکانس و ضریب میرایی سیگنال ورودی ثابت فرض شدند اما با توجه به ساختار تطبیقی الگوریتم، انتظار می‌رود الگوریتم پیشنهادی توانایی تعییب تغییرات آرام پارامترها را نیز داشته باشد. در این بخش تاثیر تغییرات نوسانی ضریب میرایی را بر



شکل ۷- مقایسه تخمین ضریب میرایی سیگنال در روش مبتنی بر شناسانده تطبیقی و روش مبتنی بر اصل مدل داخلی برای سیگنال

$$y(t) = 4e^{-0.05t} \sin(3.5t)$$

مشاهده می شود هر چند در الگوریتم پیشنهادی در این مقاله مقادیر تخمینی به مقادیر واقعی همگرا شده اند اما در الگوریتم مبتنی بر اصل مدل داخلی مقادیر تخمینی به مقادیر واقعی خود همگرا نشده اند. این مثال نشان می دهد الگوریتم ارائه شده در این مقاله حوزه جذب بیشتری نسبت به الگوریتم مبتنی بر اصل مدل داخلی دارد. مثال های شبیه سازی بیشتر نشان می دهد برخلاف الگوریتم مبتنی بر اصل مدل داخلی، الگوریتم پیشنهادی در این مقاله توانایی تخمین رنج وسیعی از ضریب میرایی را دارد.

۵- نتیجه گیری

در این مقاله یک الگوریتم جدید مبتنی بر ایده شناسانده تطبیقی برای تخمین فرکانس و ضریب میرایی سیگنال های سینوسی میرا ارائه گردید و جنبه های مختلف آن مورد بررسی قرار گرفت. با ارائه یک قضیه و اثبات آن پایداری مجانبی محلی الگوریتم پیشنهادی بررسی شد. نتایج شبیه سازی نشان می دهند الگوریتم پیشنهادی توانایی تخمین رنج وسیعی از ضریب میرایی را دارد. ساختار تطبیقی الگوریتم به آن توانایی تعقیب تغییرات آرام پارامترها را می دهد این مسئله توسط شبیه سازی نشان داده شده است. در مقایسه با الگوریتم مبتنی بر اصل مدل داخلی، تنظیم پارامترها در روش معروف شده ساده تر می باشد و نسبت به تغییرات پارامترها حساسیت کمتری دارد. همگرای سریع پارامترها از دیگر مزایای الگوریتم پیشنهادی است.

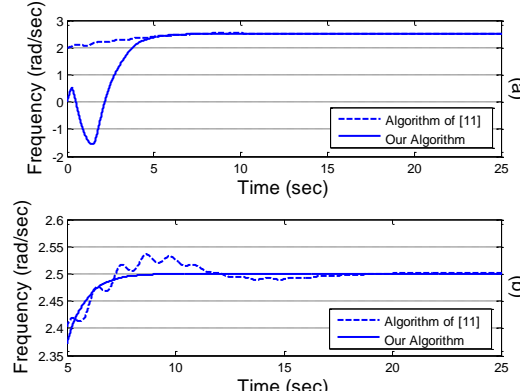
ضمیمه: تعریف [۱۷]. فرض کنید $x = p_0$ نقطه تعادل

سیستم $\dot{x} = f(x), x \in \mathbf{R}^n$ باشد. p_0 یک نقطه تعادل هذلولوی^۱ نامیده می شود هر گاه هیچ یک از مقادیر ویژه سیستم خطی شده حول نقطه تعادل p_0 دارای قسمت حقیقی صفر نباشد.

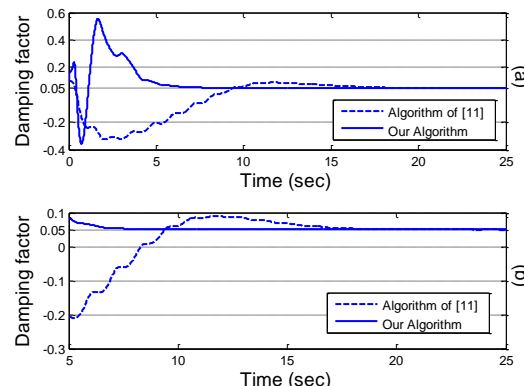
قضیه معدل گیری

سیستم دینامیکی زیر را در نظر بگیرید

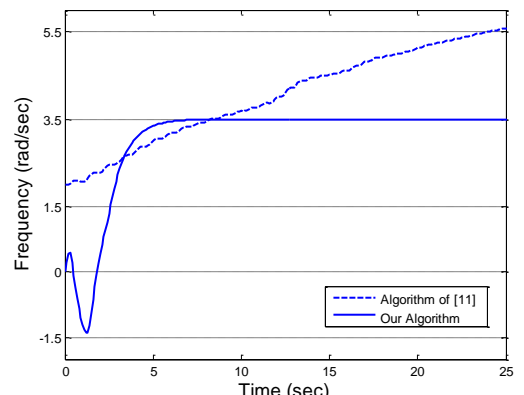
همگرای در روش مبتنی بر شناسانده تطبیقی نسبت به روش مبتنی بر اصل مدل داخلی بهتر است. به عنوان آخرین مثال شبیه سازی به بررسی حساسیت دو الگوریتم نسبت به تنظیم پارامترها می پردازیم. بدین منظور سیگنال سینوسی میرا با معادله $y(t) = 4e^{-0.05t} \sin(3.5t)$ را در نظر می گیریم تمامی پارامترهای شبیه سازی را مشابه با قبل در نظر گرفته ایم. نتایج تخمین فرکانس و ضریب میرایی سیگنال به ترتیب در شکل های ۶ و ۷ نشان داده شده اند.



شکل ۴- a) مقایسه تخمین ضریب میرایی سیگنال، b) بازه زمانی ۵ تا ثانیه شکل ۴ (a)



شکل ۵- a) مقایسه تخمین ضریب میرایی سیگنال ، b) بازه زمانی ۵ تا ثانیه شکل ۵ (a)



شکل ۶- مقایسه تخمین فرکانس سیگنال در روش مبتنی بر شناسانده تطبیقی و روش مبتنی بر اصل مدل داخلی برای سیگنال $y(t) = 4e^{-0.05t} \sin(3.5t)$

^۱ Hyperbolic equilibrium point

- sinusoids”, *IEEE Transactions on Signal Processing*, Vol. 53, pp. 3831-3846, 2005.
- [5] Hua, Y. and Sarkar, T. K., “Matrix pencil method for estimating parameters of exponentially damped/undamped sinusoids in noise”, *IEEE Transaction on Acoustics, Speech, and Signal Processing*, Vol. 38, no. 5, pp. 814-824, 1990.
- [6] Badeau, R., Boyer, R. and David, B., “EDS parametric modeling and tracking of audio signals”, *Fifth International Conference on Digital Audio Effects*, Hamburg, Germany, pp. 1-6, 2002.
- [7] Kumaresan, R. and Tufts, D. W., “Estimating the parameters of exponentially damped sinusoids and pole-zero modeling in noise”, *IEEE Transaction on Acoustics, Speech, and Signal Processing*, Vol. 30, no. 6, pp. 833-840, 1982.
- [8] Handel, P., “High-order Yule-walker estimation of the parameters of exponentially damped cisoids in noise”, *Signal Processing*, Vol. 32, pp. 315-328, 1993.
- [9] Liu, Z., Li, J. and Stoica, P., “RELAX-based estimation of damped sinusoidal signal parameters”, *Signal Processing*, Vol. 62, pp. 311-321, 1997.
- [10] Li, H. and Djuric, P. M., “An iterative MMSE procedure for parameter estimation of damped sinusoidal signals”, *Signal Processing*, Vol. 51, pp. 105-120, 1996.
- [11] Lu, J. and Brown, L. J., “Internal model principle-based control of exponentially damped sinusoids”, *International Journal of Adaptive Control and Signal Processing*, Vol. 24, no. 3, pp. 219-232, 2010.
- [12] Lu, J. and Brown, L. J., “Identification of exponentially damped sinusoidal signals”, *Seventeenth IFAC World Congress*, Seoul, Korea, 2008.
- [13] Xia, X., “Global frequency estimation using adaptive identifiers”, *IEEE Transaction on Automatic Control*, Vol. 47, no. 7, pp. 1188-1193, 2002.
- [14] Hou, M., “Estimation of sinusoidal frequencies and amplitudes using adaptive identifier and observer”, *IEEE Transaction on Automatic Control*, Vol. 52, no. 3, pp. 493-499, 2007.
- [15] Sastry, S. and Bodson, M., *Adaptive Control: Stability, Convergence, and Robustness*. Prentice-Hall: Englewood Cliffs, NJ, 1989.
- [16] Narendra, K. S. and Annaswamy, A. M. *Stable Adaptive Systems*. Prentice-Hall, Englewood Cliffs, NJ, 1989.
- [17] Wiggins, S. *Introduction to Applied Nonlinear Dynamical Systems and Chaos*. New York: Springer-Verlag, 1983, Vol. 2, Texts in Applied Mathematics.
- [18] Khalil, H. K. *Nonlinear Systems*, 3rd ed. Englewood Cliffs, NJ: Prentice-Hall, 2002.

$$\dot{x} = \varepsilon f(x, t, \varepsilon) \quad (ض-1)$$

که در آن $C^r, r \geq 2$: $\mathbf{R}^n \times \mathbf{R} \times \mathbf{R}^+$ تابعی (تمامی مشتقات جزئی آن تا مرتبه r پیوسته‌اند)، کراندار بر روی مجموعه‌های کراندار و متناوب نسبت به زمان با دوره تناوب $T > 0$ است. سیستم معدل گیری شده به صورت زیر تعریف می‌شود

$$\dot{x}_{av} = \varepsilon \frac{1}{T} \int_0^T f(x_{av}, t, 0) dt \triangleq \varepsilon \bar{f}(x_{av}) \quad (ض-2)$$

که در آن متغیر جدید x_{av} نشان دهنده مقدار معدل x است. آنگاه تغییر متغیر ($x = x_{av} + \varepsilon W(x_{av}, t, \varepsilon)$) وجود دارد به طوری که توسط آن سیستم (ض-1) به

$$\dot{x}_{av} = \varepsilon \bar{f}(x_{av}) + \varepsilon^2 f_1(x_{av}, t, \varepsilon) \quad (ض-3)$$

تبديل می‌شود. که f_1 نسبت به t متناوب با دوره تناوب T است. همچنین نتایج زیر را داریم

اگر $(x(t) - x_{av}(t))$ به ترتیب پاسخ‌های معادلات (ض-1) و (ض-2) با شرایط اولیه $x_{av}(t_0) = x_{av0}$ و $x(t_0) = x_0$ باشد $x_{av}(t_0) = x_0$ باشد و در $\|x_0 - x_{av0}\| = O(\varepsilon)$ ، آنگاه در مقیاس زمانی به طوریکه $\|x(t) - x_{av}(t)\| = O(\varepsilon)$ ، $t \sim (\frac{1}{\varepsilon})$ خواهد بود.

اگر P_0 نقطه تعادل هذلولوی (ض-2) باشد، آنگاه ε_0 ای وجود دارد که برای تمامی مقادیر $\varepsilon < \varepsilon_0 < 0$ ، (ض-1) دارای یک مدار تناوبی هذلولوی یکنانت است که نوع پایداری آن مشابه با P_0 می‌باشد و در $P_\varepsilon(t) = P_0 + O(\varepsilon)$ واقع شده است (ض-2). قصیه معدل گیری بیان می‌کند پاسخ‌های سیستم معدل گیری شده به پاسخ‌های سیستم اصلی همگرا می‌شوند. همچنین این قصیه ارتباط میان مدارهای تناوبی^۱ سیستم اصلی و نقاط تعادل سیستم معدل گیری شده را نشان می‌دهد [۱۷].

مراجع

- [1] Hermus, K., Verhelst, W., Lemmerling, P., Wambacq, P. and Huffel, S. V., “Perceptual audio modeling with exponentially damped sinusoids”, *Signal Processing*, Vol. 85, pp. 163-176, 2005.
- [2] Kannan, N., Kundu, D., “Estimating parameters in the damped exponential model”, *Signal Processing*, Vol. 81, pp. 2343-2351, Nov. 2001.
- [3] Peter, O., “A high-resolution spectral analysis algorithm for power system disturbance monitoring”, *IEEE Transactions on Power Systems*, Vol. 17, pp. 676-680, 2002.
- [4] Lovisolo, L., da Silva, E. A. B., Rodrigues, M. A. M., and Diniz, P. S. R., “Efficient coherent adaptive representations of monitored electric signals in power systems using damped

¹ Periodic orbit